

超高性能磁石의 現況과 問題點

李 根 喆*

- 차례 ■
1. 序 言
 2. 稀土類코발트磁石의 測定法과 問題點
 - 2.1 測定法
 - 2.2 電磁石와 自記磁束計에 의한 測定法
 - 2.3 超電導磁石의 自記磁束計에 의한 히스테리시스 曲線의 測定
 - 2.4 振動試料形 磁力計에 의한 測定法
 - 2.5 稀土類코발트磁石의 測定上 問題點
 3. R-Co系磁石材料의 特性과 問題點
 - 3.1 粉末磁石
 - 3.2 RCO_5 系 燒結磁石

- 차례 ■
- 3.2.1 組成
 - 3.2.2 粉末粒度
 - 3.2.3 热處理
 - 3.3 銅을 包含한 稀土類 코발트磁石
 4. 稀土類 코발트磁石의 應用
 - 4.1 發電機
 - 4.2 電動機
 - 4.3 電子時計
 - 4.4 通信機器
 - 4.5 音響機器 및 其他

1. 序 言

永久磁石은 各種電氣計器와 家庭製品, 無線機器 및 人工衛星에 이르기까지 우리 日常生活에 不可缺한 材料이다. 最近 航空機 1臺에는 無慮 300個以上의 永久磁石이 使用된다고 하니 그 應用度가 매우 高다는 것을 짐작할 수 있다.

現在 國內에서는 自轉車用 發電器用으로 Ba-Ferrite 와 스피이커用 Alnico磁石이 生產되고 있으나 Alnico磁石의 Ni, Co, Fe 등 모두 輸入에 의존하고 있으므로 原料問題가 深刻하다고 한다.

또한 一次의으로 鑄物品을 輸入하여 热處理와 加工을 하여서 利用하고 있으며 磁場冷却와 方向性組織 등을 解決할 수 없어 異方性이 아닌 等方性 Alnico磁石만이 生產되고 있다.

本稿에서는 稀土類코발트磁石材料에 대한 物性面과 應用面, 磁氣的特性, 測定法 및 用途開發 등의 現狀을 握하고 未解決問題點 등에 대하여 日本磁石調查專門委에서 行한 調查指針을 中心으로 紹介한 것이며 가까운 將來에 稀土類元素를 使用한 強力한 磁石이 出現할 것을 期待하는 바이다.

1966年 G. Hoffer와 K. Strnat氏들은 yCo_5 , y_2Co_{17} 의 單結晶에 의한 結晶磁氣異方性을 測定한 바 yCo_5 의

異方性이 매우 크다는 것을 指摘하였으며 이것을 單一磁區狀態까지 微粉碎하고 磁化容易軸方向을 整列하여 プレス로 成形한 바 保磁力이 $H_s=2K/I_s$ (단, K : 結晶磁氣異方性定數, I_s : 饱和磁化의 세기)의 理論式으로 表示되는 바와 같이 結晶磁氣異方性이 크고 또한 I_s 도 어느 程度 큰 物質은 優秀한 永久磁石을 製作할 수 있다고豫想하였다.

그리고 K. Strnat氏는 各種 稀土類元素(R)와 Co의 金屬間化合物 특히 RCO_5 에 대하여 I_s 와 K 의 値을 구하여 表 1과 같이 整理하였으며, 1967年에는 $SmCo_5$ 로서 $(BH)_{max}=40.8RJ/m^3$ (5.1MG. Oe)의 値을 實測하였다.

一般的으로 稀土類金屬은 活性이며 酸化가 容易하고 이들의 化合物도 특히 微粉末이므로 表面酸化에 의한劣化가 매우 심하여 實用材料로서는 問題가 많다고 한다. 한편 Philips社의 研究者들은 微粉末表面에 保護코오팅을 實施하고 超高壓을 加해 成形함으로서 $(BH)_{max}=148.0\sim161.6KJ/m^3$ (1.85~20.2MG. Oe)의 특성을 얻었다.

그리고 이것으로부터 單磁區오우너에 微粉碎된 $SmCo_5$ 의 集合體는 매우 優秀한 磁石이라는 것이 實證되었으나 $(BH)_{max}=144KJ/m^3$ (18MG. Oe)以上을 達成하기 위하여는 集合密度 등 99~97%로 해야 된다는 點이 工業化에 있어서 障害가 되고 있다.

한편 이와 같은 微粉末集合體의 密度를 上昇시키는 燒結法은 粉末冶金으로 알려진 技術로서 케라이트磁石

* 正會員：高麗大 大學院 博士課程

表 1. RCO_5 化合物의 理論的 保磁力과 最大磁石에너지의 積

	YCO_5	$CeCO_5$	$PrCO_5$	$SmCO_5$	$Y-MMCO_5$	$Ce-MMCO_5$
飽和磁化 $4\pi I_s$ (G)	10,600	8,700	11,200	9,500	9,500	8,900
結晶磁氣異方性定數 $K(10^7 \text{erg/cc})$	5.5	~7.3	~8.0	~9.5	~6.2	~6.4
異方性磁界(保磁力) H_a (KOe)	129	~210	~180	~250	~150	~180
最大磁石에너지積 $(BH)_{max}$ (MG.Oe)	28.1	18.9	31.4	22.6	22.6	19.8

의 製法에도 使用되고 있다. 단. 燒結法을 이와 같은 微粉末磁石에 適用하는 경우 單磁區狀態를 燒結完了後에도 維持해야 된다는 制約이豫測되어 各種 技術的問題가 發生되고 있으며 이에 관한 論文은 有益한 基礎的, 技術的 研究結果가 報告되었는데 理論的으로는 다음과 같은 點을 들 수 있다.

첫째, 組成을 化學量論組成으로서 R 濃度가 높은 領域을 選擇하고 原料粉粒度를 数 μm 정도로 調整할 것.

둘째, 燒結雰圍氣를 完全히 不活性雰圍氣로 하고 热處理効果를 導入할 것.

세째, 其他 R 元素, 3d遷移元素 및 其他元素의 複合添加 등으로서 現在는 磁界成形方向과 成形壓 및 機械加工方法 등 높은 關連技術이 總合되어 $(BH)_{max}=216 \text{KJ/m}^3$ (27MG.Oe)가 生產될 段階이다.

稀土類코발트磁石의 特徵은 最大磁石에너지積과 保磁力이 매우 크며 또한 리코일透磁率이 거의 1에 가깝다는 것이다. 一般的으로 保磁力이 큰 磁石材料는 着磁磁界가 커는데, 페라이트磁石에서는 $800KA/m$ (10 KOe)以上을 JIS에서 勸奨하고 있으며 保磁力이 큰 값에서 본다면 稀土類코발트磁石의 着磁磁界가 매우 커질 것으로豫想되나 큰 保磁力에 대해서는 實用的으로 $1,200\sim 1,600KA/m$ (15~20KOe)의 磁界에 거의充分한 着磁가 可能한 特徵이 있다.

한편 材料面에서의 特性向上은 現在에도 繼續實施되

어 R_2Co_{17} 系의 新しい 材料로 向하고 있으며 實驗室的으로 $(BH)_{max}=240\text{KJ/m}^3$ (30MG.Oe)에 到達했다는 報告가 있다.

2. 稀土類코발트磁石의 測定法과 問題點:

2.1 測定法

一般的으로 永久磁石의 測定方法은 1975年에 改訂된 JIS C2501永久磁石試驗方法으로 標準化되어 있으며 測定器도 JIS C2501을 改訂하여 結論을 본 B, H 코일의 標準仕樣에 依據하고 있다(表 2, 3 參照).

한편 磁束과 磁界測定에 使用되는 計測로서 옛부터 無定位磁束計以外에 엘렉트로닉스磁束計, 디지털磁束計, 自記磁束計 및 NMR磁界測定器 등 精度가 좋은 것이 開發되고 있으며 그림 1, 2는 減磁曲線의 測定回路를 나타낸다. 오히려 그림 3과 같은 安定한 磁化器와 을 바르게 較正된 NMR磁界測定器를 사용한다면 $0.1\sim 1.5T(1.0\sim 15KG)$ 範圍의 標準磁石은 10^{-5} 精度까지 較正이 可能하다고 한다.

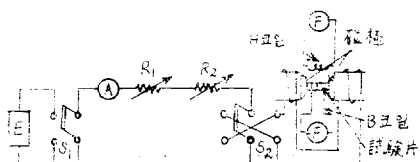
그러나 一般的으로 稀土類코발트는 iHc 가 매우 크며 또한 電磁石形 磁化器는 對稱인 減磁曲線을 얻기가 困難함과 同時に 減磁曲線上에서 $B=0$, $H=0$ 의 原點을 確認할 수 없는 點이 많아 JIS C2501의 測定方法을 使用하지 않고 있다.

表 2. B 코일의 標準仕樣

試驗片	捲線			捲數	
	種類	線徑	捲線方法	最大磁束密度測定用	減磁曲線測定用
2種磁石	에나멜 또는 포르말로	0.1mm	單層	6	12
3種磁石	서 絶緣한 軟銅線	以 下	密接捲線	14	40

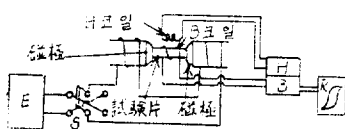
表 3. H 코일의 標準仕樣

試驗片	捲架		捲線			捲數
	材質	寸法	種類	線徑	捲線方	
2種磁石	非磁性	$10mm\phi \times 10mm$	포르말 또는 에나멜	0.05mm	多層	1,000
3種磁石	材 料	$10mm\phi \times 5mm$	로서 絶緣한 軟銅線	以 下	密接捲線	400



E : 激化電源装置, R₁, R₂ : 抵抗器, S₁ : 開閉器,
S₂ : 轉換開閉器, Ⓐ : 電流計, Ⓛ : 磁束計

그림 1. 磁束計法에 의한 減磁曲線測定回路



E : 激化電源装置 S : 轉換開閉器
H : H測定部 B : B測定部 R : 記録計
B測定部 } 自記磁束系

그림 2. 自記磁束計法에 의한 減磁曲線測定回路

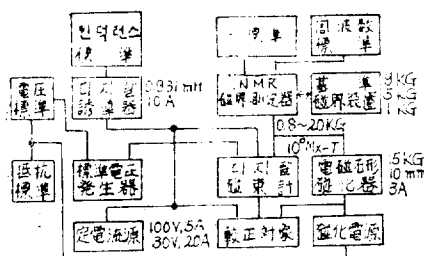


그림 3. 日電檢에 있어서 磁氣標準의 較正體系

이에 대한 對策으로서 電磁石形 磁化器에 直接 高電界를 加한 後 自己磁束計로서 $4\pi I - H$ 曲線을 測定하고 $B - H$ 의 減磁曲線을 求하는 方法을 取하고 있다.

$4\pi I - H$ 曲線의 測定에는 B 코일 代身에 $4\pi I$ 코일이 必要하나 測定中에는 전혀 드리프트가 없는 B , H 測定裝置와 熱起電力 및 接觸電位가 零인 方法으로 測定한다. $4\pi I$ 코일은 不必要하나 現在로서 適合치 않으며 $4\pi I$ 코일의 具體的인 調整順序를 보면 첫째, 電磁石形 磁化器의 磁極間隔을 試驗片길이와 同一하게 維持한다. 둘째, $4\pi I$ 코일의 位置가 試驗片測定時와 같도록 한다. 세째, 自己磁束計의 感度를 試驗片測定時보다 높고 必

■ 要한 磁化力의 範圍式

즉 $\sum_{i=1}^n A_i - \sum_{j=1}^m A'_j = 0$ 을 滿足하도록 n (內側코일의 總捲數), m (外側코일의 總捲數), A_i (內側코일 i 回番째捲線의 斷面積) 및 A'_j (外側코일 j 回番째捲線의 斷面積)을 調整해야 된다. 例, $4\pi I$,가 既知의 試料例을 들면 純니켈과 純鐵 등으로서 有効捲數 N_e 를 確認한다 등을 들 수 있으며 一般的으로 磁化力이 0~1,200KA/m(15KOe)인 範圍에서 $4\pi I$ 코일의 調整은 比較的 容易하나 1,200KA/m以上의 磁化力を 必要로 하는 경우에는 高磁界에서 均一度가 良好한 電磁石形 磁化器를 使用하지 않으면 안된다.

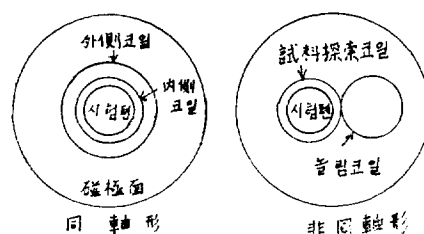


그림 4. $4\pi I$ 코일의 斷面圖 一例

2.2 電磁石形 自記磁束計에 의한 測定法

(1) 着磁: 처음에는 電磁石形 磁化器以外의 着磁裝置例을 들면 超電導電磁石과 ベルス着磁裝置 또는 電磁石形磁化器와 ベルス着磁裝置의 組合 등으로서 미리 試驗片을 着磁하는 것이 바람직하다.

(2) 原點의 決定: $4\pi I$ 코일을 所定의 位置에 두고 H 檢出部를 磁界外로, 그리고 $4\pi I$ 測定部와 H 測定部의 드리프트를 充分히 調整해서 原點을 定하고 記錄한다.

(3) 試驗片의 附着: 試驗片을 $4\pi I$ 코일內에 놓고 磁極端面과 試驗片端面사이에 間隙이 생기지 않도록 確實히 附着하여 또한 H 檢出部를 試驗片의 近方에 둔다.

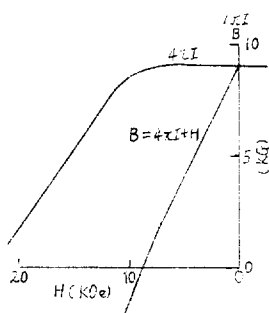
(4) 磁化: 電磁石形 磁化器로서 試驗片을 着磁方向과 同一方向으로, 磁化電流가 最大가 될 때 까지 充分히 磁化시키고 磁化電流는 零으로 한다.

(5) 記錄: XY記錄計의 펜으로서 記錄을開始하여 磁化電流의 方向을 反轉시켜서 着磁方向과 反對方向으로 磁化電流를 最大值까지 增加시킨다. 그리고 第2象限의 軌跡을 記錄記上에 画 수 있는 限 크게 그린다.

(6) 原點의 確認: $4\pi I$ 코일을 所定의 磁極間에 두고 記錄紙上에서 (2)에서 定한 바와 같이 原點을再次 確認한다.

(7) 減磁曲線의 決定: 5와 같이 $4\pi I - H$ 曲線에서 B

$-H$ 의 減磁曲線을 求한다. 그림 5는 上記順序에 의한 稀土類코발트磁石의 測定例를 나타낸다.



試驗片寸수 : $5\phi \times 15\text{mm}$ 펄스着磁界 : 90KOe
磁化器 : 사이크로트론型電磁石
磁極直徑 60mm, 最大磁化力 21KOe/15mm
測定裝置 : 自記磁束計
測定데이터 : B , 9.0KG, H_c 8.7KOe, $(HB)_{max}$ 20.1MGoe

그림 5. 稀土類코발트磁石의 測定例

2.3 超電導磁石과 自記磁束計에 의한 히스테리시스曲線의 測定

稀土類코발트磁石의 磁化方法으로서 超電導磁石에 의한 것이 理想的이나 本 method은 開磁路測定에 由因 磁界의 补正이 必要하다. 또한 超電導磁石은 一般的으로 磁化力を 迅速히 變化하는 것이 因類하므로 自記磁束計로서 測定할 경우 電壓感度가 높고 드리프트가 적은 積分器가 必要하다.

그림 6은 數值積分方式의 自記磁束計를 使用한測定裝置의 블록圖로서 本 裝置의 超電導磁石은 $\phi 30 \times 50$ 의 常溫空間에 $5,200\text{KA/m}$ (65KOe)의 磁界를 發生시킬 수 있는 것이다. 한편 試料의 磁化세기 $4\pi I$ 는 探索코일(同軸形 $4\pi I$ 코일)의 誘起電壓을 積分形 디지털電壓

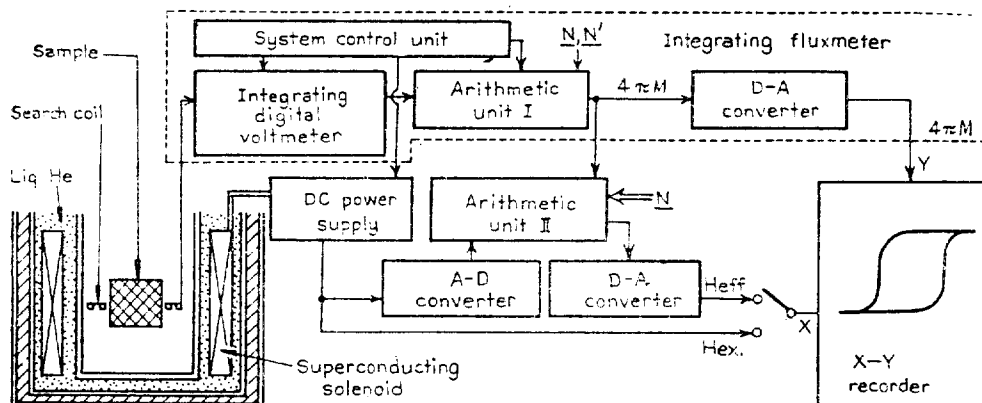
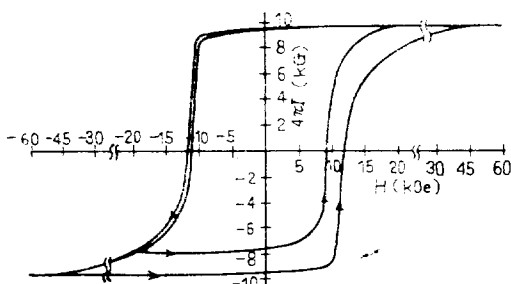


그림 6. 自記磁石計의 블록다이어그램

計로 0.5秒마다 測定하고 出力數值를 加減算回路 I (Arithmetic Unit I)로서 數值積分하여 求한다.

그리고 反磁界的 补正是 加減算回路 I 로서 行하며 入力電壓(探索코일誘起電壓)의 分解能은 $0.01\mu V$, 出力值의 드리프트는 探索코일의 有効捲線數 50인 경우 30分鐘에 $2.5 \times 10^{-7} \text{wb}$ (25 Maxwell) 以下이다. 磁化力 H 는 超電導磁石의 勵磁電流로부터 求하나 加減算回路 II (Arithmetic Unit II)로서 反磁石의 补正을 行한다. 그림 7은 稀土類코발트磁石에 대한 히스테리시스曲線의 測定例를 나타낸다.



試料寸수 : $12\text{mm}\phi \times 10\text{mm}$
反磁界係數 N : 0.268

그림 7. (Sm, Pr)-Co₅磁石의 主 및 副ヒステリシス曲線

2.4 振動試料形 磁力計에 의한 測定法

電磁石形 磁化器와 自記磁束計에 의한 一般的 測定方法은 直流積分器에 의한 $4\pi I$ 와 H 의 測定時 어느 것

이나 드리프트를 完全히 零으로 하기가 困難하므로 이에 대하여 原理의으로 드리프트가 零이라고 生覺되는 測定器로서 振動試料形 磁力計(VSM)가 있다. 이것은 특히 高感度를 必要로 하는 磁氣喇叭와 磁氣磁子及 $M_N - B$ 등의 磁性薄膜 등의 測定에 많이 使用되고 있으며 特徵은 다음과 같다.

첫째, 高感度(自記磁束計의 約 200倍)이므로 微小試料의 測定이 可能하다.

둘째, 溫度變化와 角度依存性을 測定할 수 있으나 缺點으로는 磁化器의 磁極端面에 試驗片을 插入해서 測定할 수 없으므로 反磁界補正이 必要하게 된다.

또한 反磁界係數가 正으로 算出된다면 超電導磁石과 VSM의 組合에 의한 稀土類코발트磁石의 測定法은 精度, 再現性 및 使用面에서 優秀한 測定法으로 注目되고 있다.

2.5 稀土類코발트磁石의 測定上問題點

稀土類코발트磁石의 減磁曲線測定時 가장 큰 問題는 着磁界가 크다는 것을 들 수 있으며 한편 着磁方法에는 다음과 같이 3가지 種類가 있다. 즉

(1) 電磁石形 着磁器[最大發生磁界 約 2,500KA/m(約 32KOe)]에 의한 方法

(2) 펠스着磁器[發生磁界 約 7,000KA/m(約 90KOe)] 또는 超傳導磁石와 電磁石形 磁化器를 併用하는 方法

(3) 超電導電磁石에 의한 方法이다.

이中에서 超電導電磁石에 의한 着磁方法이 理想的이나 設備나 管理維持 및 寒劑 등의 費用이 많이 들므로 溫室에서의 測定例가 매우 적다.

一例로서 直徑 7.3mm 길이 31.1mm, $B_r = 0.85 T$ (8.5KG), $iH_c = 1,760 KA/m$ (22KOe), $BH_c = 600 KA/m$ (7.5KOe) 및 $(BH)_{max} = 135 KJ/m^3$ (17MGOe) 정도의 稀土類코발트磁石을 超電導電磁石으로서 飽和시키기 위해서는 적어도 4,000KA/m(50KOe) 정도의 着磁界가 必要할 것이다.

3. R-Co系磁石材料의 特性과 問題點

R-Co系磁石은 從來의 Alnico系 또는 케라이트系磁石材料에 比較하여 高性能이며 이것은 粉末磁石과 燒結磁石으로서 實用的으로는 R이 Ce, Pr, Sm이나 RCo₅系와 R₂(Co, Cu, Fe)₁₇系에 가까운 組成으로 되어 있다.

한편 磁石材料의 解析은 아직도 많은 問題가 남아 있다. 例을 들면 热處理와 磁石特性의 關係에서 高保

磁力의 發生機構가 明確하지 않으며 또한 酸化에 의한 磁石特性의 關係가 實驗的으로는 對應되나 機構 역시 明白하지 않아 重要한 課題가 되고 있다. 이것들은 實用面에서 早急한 解決이 要望되며 특히 R-Co系磁石材料의 開發에 대해서 時急하다고 生覺된다. 다음에 이를 各 磁石材料의 特徵과 問題點을 考察해 본다.

3.1 粉末磁石

現在 本種類의 磁石은 主로 RCo₅系의 プラスティ磁石으로서 이것은 RCo₅系 金屬間化合物을 微粉末加工하고 磁界中에서 配向시킨 後 樹脂로서 固形한 것이다. 特徵은 切斷과 切削 및 打拔 등이 容易하며 또한 反復된 衝擊에 대해서도 安定하고 球나 曲面의 磁極을 쉽게 만들 수 있다는 것이다. 또한 機械的加工이 容易하므로 燒結磁石에 比較하면 非常 低廉하다.

應用面에서 볼 때 큰 磁極面을 좁은 스페이스內에서 必要로 하는箇所나 曲面 등에 非常 有利한데 이러한 種類의 磁石은 RCo₅系 化合物이 높은 結晶의 磁氣異方性을 갖는다는 報告가 있어 最初로 試作된 것이다. 根據는 微粒子에 대한 單磁區理論에서 計算된 $H_A = 2K/I_s = H_c$, max에 의한 것으로서 여기서 H_A 異方性磁界, K 는 結晶磁氣異方性定數, I_s 는 飽和磁化 그리고 $H_{s,max}$ 는 保磁力의 最大值를 나타낸다.

그러나 現在 얻고 있는 保磁力은 異方性磁界에 比하여 約 1桁정도 낮은 値을 나타내는데 이것은 아직 分明하지 않으나 經驗的으로는 粉末이 전부 單磁區磁界에서는 없으며 또한 配向磁界가 異方性磁界에 比하여 非常 낮고, 試料의 磁化가 飽和되지 않는다는 것이다. 이와 같은 事實은 R-Co系 粉末磁石의 保磁力機構에서 問題가 되고 있다.

그러나 高結晶磁氣異方性을 갖는 R-Co系 化合物에 의한 高性能磁石을 얻기 위하여는 粉末을 磁界中에 配向하고 高密度화할 必要가 있으나 超高壓裝置를 使用한다는 것은 實用的으로 限度가 있으며 더욱이 占積率도 限定되어 있으므로 必然의으로는 燒結磁石의 製作이 要望되고 있다.

3.2 RCo₅系 燒結磁石

代表的인 것으로 SmCo₅系가 있으며 이것은 製造時組成, 粉末粒度, 热處理方法, 酸素의 含有量 및 測定磁界(着磁) 등에 의해서 크게 變化된다. 한편 残留磁束密度는 飽和磁化的 値에 따라서 限定되나 크게 變動되는 것은 아니며 保磁力(iH_c)이 变動하는 것은 이런 磁石材料의 特徵이다. 다음에서는 保磁力에 關連된 實驗例에 따라 材料의 問題點을 指摘해 본다.

3.2.1 組 成

Sm₂Si系磁石은製作時 SmCo₅(66.2wt% Co)보다 Sm-rich인 63~64wt%Co-Sm의組成을 갖는材料를 얻고 있다. 한편 SmCo₅粉末磁石을熱處理하면保磁力은溫度上昇에 따라서直線으로低下된다는것이確認되었으며 이와같이僅少한 2~3wt%Co의組成差異가保磁力에 큰原因을 미친다는것은아직도分明하지않다고한다.

또한 SmCo₅磁石은 SmCo₅化合物에보다融點이낮은Sm-Co系合金을粉末状으로混合하고粉末磁石을만든後 이것을燒結하여얻고있는데이러한方法을液相燒結法이라고부른다. 그러나添加되는合金의組成이問題가되고있다.

3.2.2 粉末粒度

燒結磁石은初期에粉末의粒度에따라서特性이크게다르나특히液相燒結法으로製作된製品은影響이매우크다.

그림8은SmCo₅磁石에있어서粉末粒度(SmCo₅化合物)의變化에따르는*H_c*의組成依存性을나타낸다. (a), (b)는各各40~50μm, 15~25μm의粒度에의한結果로서保磁力의極大는어느것이나約64.5wt%Co로서일어지고있다.

이와같은保磁力에대하여粒度의依存性原因을考察하면SmCo₅粉末試料를製作하는過程에서結晶은

機械粉碎에의하여缺陷이發生되며이것이粉末의表面에集中됨과同時に全缺陷은粒度分布에거의決定된다고한다. 여기서 SmCo₅의粉末粒子를球狀으로假定하고半徑을r, 密度를ρ, 表面積을s, 體積을v, 質量을w라고하면 $s=4\pi r^2$, $v=4/3 \cdot \pi r^3$, $w=\rho v$ 로서表示되며 SmCo₅粒子 1個當의添加物量을w, 그리고添加物의全體에대한比率를p(%)라고하면 $p=w/\rho v + w_0/100$ 으로表示된다. 한편 SmCo₅粒子表面의單位面積當添加物의量A는다음과같은式즉 $A=w/s = \rho rs/3 (100-p)$ 으로되며單位面積當缺陷이r의相違에의해서變化하지않는다면A는一定값이된다.

여기서極大의保磁力を얻기위하여는 $r=r_1$ 인경우에有効한 $p=p_1$; 그리고 $r=r_2$ 인경우에有効한 $p=p_2$ 가存在한다고假定하면 $r_1/r_2=(100-p_1)/p_1 \times p_2/(100-p_2)$ 가된다. 그림8의(a), (b)에서*iH_c*의極大는64.5wt%을얻었고實驗結果에서 $p_1=5\%$, $p_2=10\%$ 가되므로 $r_1/r_2=2$ 가된다. 여기서記述한例는添加物로서65wt%Sm-Co을使用한경우로서(a), (b)의粒度와添加量의比가거의計算值와一致하였음을보이고있다.

이와같은粒度와添加量의關係를考察한다면添加物이없는경우에는格子缺陷이全體結晶에影響을미쳐서多相構造가되어保磁力이低下된다. 그러므로添加物의適正量은保磁力의向上에매우重要한要因이됨을알수있다.

3.2.3 热處理

磁石特性은热處理方法에의해서크게左右된다.例을들면SmCo₅系粉末磁石을約1,100°C로서热處理하면保磁力이크게向上된다고하나高保磁力의發生原因是아직明確하지않다.

保磁力의變化에대하여63, 64wt%Co-Sm合金의例을보면約1,080°C와1,190°C의热處理temperature에서最大의保磁力を얻었으며이들粉末磁石을1,190°C에서30分間热處理한後再次1,080°C에서热處理한경우*iH_c*는거의變化가없었다. 또한보다낮은1,150°C에서热處理한後爐冷한結果*iH_c*는顯著하게低下되었으며試料를再次1,190°C에서热處理하여溫空까지急冷한바*iH_c*는本來의값으로되돌아왔다.

그리고Sm-Co系狀態圖를보면1,075°C와1,200°C에서各各SmCo₅와Sm₂Co₅의包晶temperature를나타내었는데이temperature는高保磁力を얻기위한热處理temperature와거의一致하였으며이와같은包晶temperature와保磁力의極大와의對應은PrCo₅系磁石도같다는것이確認되었

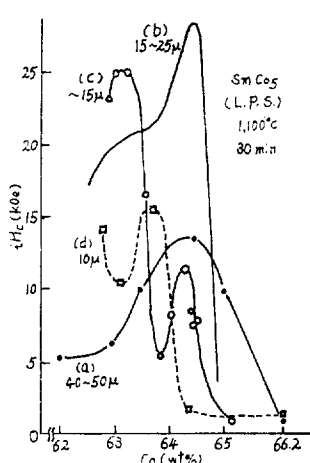


그림8. 粉末粒度의相違에따르는液相燒結磁石의保磁力에대한組成依存性

다.

또한 保磁力과 熱處理에 대한 顯著한 現象으로서 包晶溫度近方에서 热處理한 後徐冷하고 어느 特定溫度($850\sim900^{\circ}\text{C}$)까지 長時間維持한 後에 空溫으로 急冷하였다니 보다 높은 保磁力を 얻을 수가 있었는데 이와 같은 處理를 Post-Sintering이라고 부른다.

以上과 같은 热處理에 의해서 保磁力이 큰 變化는 材料의 結晶組織과 密接한 關係가 있음을 確認하였다.

3.3 銅을 包含한 稀土類코발트磁石

銅은 含有한 稀土類一코발트磁石은 最初로 $\text{Sm}(\text{Co}, \text{Fe}, \text{Cu})_5$, $\text{Ce}(\text{Co}, \text{Fe}, \text{Cu})_5$ 등의 組成에 대하여 研究開發한 結果商品화되었다. 銅을 包含한 磁石材料는 保磁力이 Sm-poor의 組成으로 容易하게 얻을 수 있었으며 普通 $\text{R}(\text{Co}, \text{Cu}, \text{Fe})_{5.2-5.5}$ 의 範圍였다. 이녀한 系를 析出硬化形이라고 하는데 結晶粒子內部에 R_2Co_17 相이라고 生覺되는 微細粒子가 析出된 構造인 바 이것이 保磁力의 發生原因이라고 考慮하고 있다.

그러나 保磁力이 가장 큰 時效條件으로 얻은 試料에 있어서 析出物의 觀測은 아직 成功하지 못하고 있다. 즉 析出物觀測과의 同定은 高溫時效로서 析出粒子를 粗大하여 試料를 使用하는데 不適한 것이다.

다음에 $\text{R}_2(\text{Co}, \text{Fe}, \text{Cu})_{17}$ 과 같이 銅을 包含한 2-17系磁石도 登場하고 있는데 R로서는 Sm이 主이나一部를 Ce 또는 Y로 代替해서 使用한 例도 있다. 本系는 2-17組成보다도 R-rich側에서 保磁力이 매우 높다.

一般的으로 銅置換形 2-17系磁石은 moderate한 保磁力 6~7KOe을 갖고 있으나 反磁場이 크거나 高溫에서는 用途上 問題가 많다고 한다. 이와 같은 경우에는 M_N 添加로서 保磁力を 640~800KA/m(8~10KOe)까지 높일 수 있으나 메카니즘은 不明確하다고 한다.

4. 稀土類코발트磁石의 應用

4.1 發電機

特殊한 應用例로서 軍用인 携帶電源에 超高速發電機가 試作되어 있으며 4極磁路構成의 磁石界磁回轉形, 65rpm의 超高速인 10KVA의 高出力を 얻고 있다.

稀土類코발트磁石의 利用은 小形, 輕量의 高出力發電機를 製作하게 되었다. 한편 體積 $5\sim15\text{cm}^3$, 出力類 W 까지인 超小形의 發電機가 開發되고 있으며 이것은 各種센서 즉 回轉檢知와 半導體素子의 드리프트 및 電氣的 信號源으로 應用될 것이다.

그러나 發電機分野에 有望한 分野로는 코아레스모우터에 對應하는 코아레스發電機로 生覺되어 이미 페라이트磁石을 使用한 發電機가 10年前부터 開發되고 있다.

本 發電機는 磁路構成上, 磁石發電機의 短點인 吸引to 오크를 避免하여 發生하지 않으므로 超低速의 回轉計用發電機와 風力 또는 波力を 動力으로 하는 發電機用으로 適合할 것이다.

4.2 電動機

이것은 發電機分野에 比하여 研究開發이 活潑하여 實用化例도 많다. 高保磁力의 特性을 살림과 同時に 動作時에 發生되는 強力한 減磁力에 避免할 수 있다. 또한 高磁氣에너지積을 利用해서 小形, 輕量의 高出力電動機를 만들 수 있으며 直流電動機分野에서 코아레스모우터는 가장 適合한 應用例라고 할 수 있다.

이러한 種類의 電動機는 無鐵心電機子가 空隔內에 놓이게 되므로 窄은 空隙이 되는 것을 避할 수 없으나 稀土類코발트磁石의 高保磁力性은 窪은 空隙內의 高磁束密度分布를 發生시킬 수 있어서 入力數 W 以下の 마이크로모우터分野에 應用할 수 있다. 그림 9는 알니코磁石과 코발트磁石에 의한 實測例이다.

한편 코아레스모우터의 特性을 보면 低慣性이며 電機子 인덕턴스가 적고 整流特性이 改善됨과 同時に 信賴性과 耐久性이 매우 높다고 한다.

4.3 電子時計

電子腕時計의 小形電磁變換機는 맵드發振器로부터始作되었으며 最初의 永久磁石材料는 바륨페라이트磁石이었으나 後에 高磁性인 稀土類코발트磁石, $(BH)_{\text{max}}$

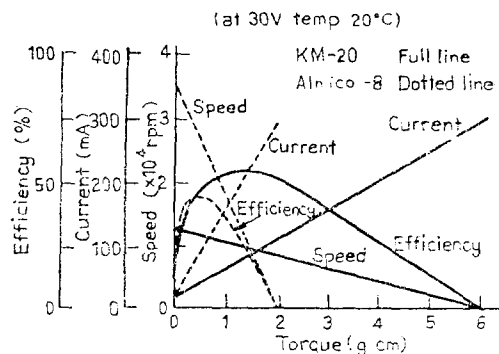


그림 9. 코아레스모우터의 特性(마이크로모우터)

≈10MGoe의 SmCo₅ 및 (Ce-MM)Co₅磁石이 使用되고 있다. 現在 電子腕時計는 水晶發振式으로 되어 稀土類코발트磁石은 永久磁石回轉子形의 스텝 모우터에 利用되고 있다.

永久磁石材에는 燒結形인 SmCo₅, $(BH)_{max}=16\sim20\text{MG.Oe}$ 또는 플라스틱 본드磁石이 使用되고 있으며 徑方向磁石의 2極形이 多은데 形狀은 約 $2\phi\times5t$ 이다. 스텝 모우터의 特性에 永久磁石이 關與하게 되고 파라메타의 하나로서 電氣機械結合係數—慣性モーメント $\propto (BH)_{max}/\rho$ 을 들 수 있는데 이點이 코발트磁石의 貢獻이라고 생각할 수 있다.

4.4 通信機器

이것은 主로 마이크로波管이나 마이크로波페라이트回路의 界磁用 磁石으로 생각할 수 있다. 특히 進行波管에 코발트磁石의 應用은 高保磁力의 長點을 充分히活用한 것으로서 開發當初부터 檢討가 進行되고 있다.

進行波管은 回路에 따라서 進行하는 電波와 이것과同方向으로 거의 同速度로 進行하는 電子流와를 相互作用시켜서 電波를 增幅하는 마이크로波電子管으로서 電波와 電子流는 거의 等速度이므로 普通螺旋狀遲延回路를 導體로 使用하고 있다.

이螺旋幅에 따라 安定한 電子流를 通過시키기 위하여는 集束磁界가 必要한데 永久磁石을 使用한 集束磁界의 形式에는 均一磁界形, 周期磁界形 및 單反磁界形의 3種類가 있으며 이 中에서 周期磁界形이 가장 많이 使用되고 있다. 한편, 磁路構成에는 軸方向으로 磁化된 環狀磁石과 磁極片으로 된 것 그리고 怪方向으로 磁化된 環狀磁石의 2種類가 있는데 그림 10의 (a)는 前者를, (b)는 後者의 磁路構成을 나다내고 있다.

4.5 音響機器 및 其他

稀土類코발트磁石의 有望한 應用分野로서 스피이커, 헤드폰, 마이크로폰 및 락업카트리지를 들 수 있다. 특히 헤드폰은 量產化로 突入하고 있으며 코발트磁石으로서 従來의 可動코일代身 平面코일의 動電形 스피이커를 實現하고 있다.

락업카트리지가 MM인 경우에는 振動部가 永久磁石振動子이므로 코발트磁石의 利用이 適合하며 이로 因하여 慣性モーメント와 實效質量이 輕減된다. 또한 環狀磁石으로서 従來 알니코磁石의 棒狀振動子를 約 1/4로 줄일 수 있으며 性能도 크게 改善할 수 있다고 한다.

音響機器以外에 電子해인자와 마그네트론應用分野도 있으며 보다 高性能인 稀土類코발트를 使用함으로서重量을 半減시키고 아울러 해인자의 오본容積을 擴大

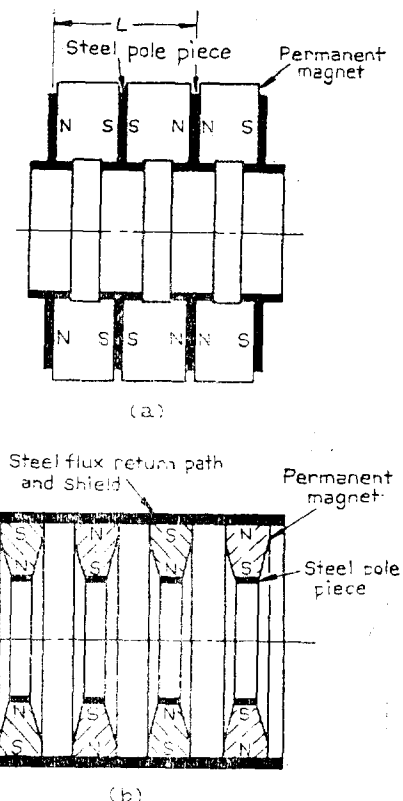


그림 10. 周期磁界形 磁路構成

하고 있다.

끝으로 醫療用器具를 보면 現代 成人病死亡率의 高位를 차지하는 腦血管障害가 있는데 이에 대한 治療로서 稀土類코발트磁石의 強力한 吸引力를 利用해서 實現하겠다는 提案도 있으며 이미 動物實驗이 進行되었다고 한다. 하여간 生體에 미치는 磁氣의 影響은 아직 未知數이나 期待하는 마음 懇切하다.

參 考 文 獻

- 1) 稀土類코발트磁石의 現狀과 問題點 : 日本電氣學會技術報告(1部) 1978年
- 2) 稀土類코발트磁石과 應用 : 山川 和郎. 精密機械(日本) Vol. 43 No. 5 (621~625) 1978
- 3) 稀土類코발트磁石의 技術進歩와 將來 : 山川 和郎. 新金屬工業(日本) Vol. 22, No. 6(131~136) 1977
- 4) 稀土類코발트磁石 : 廣田榮一, National Technical Report (Japan) Vol. 22, No. 6 (774~792) 1976
- 5) 새로운 磁性材料 : Overshott K.J. Electrical Review(英國) Vol. 199, No. 7(22~23) 1976